

Synchrotron Radiation

ver 1.0

Yuji Chinone

1 座標・表記

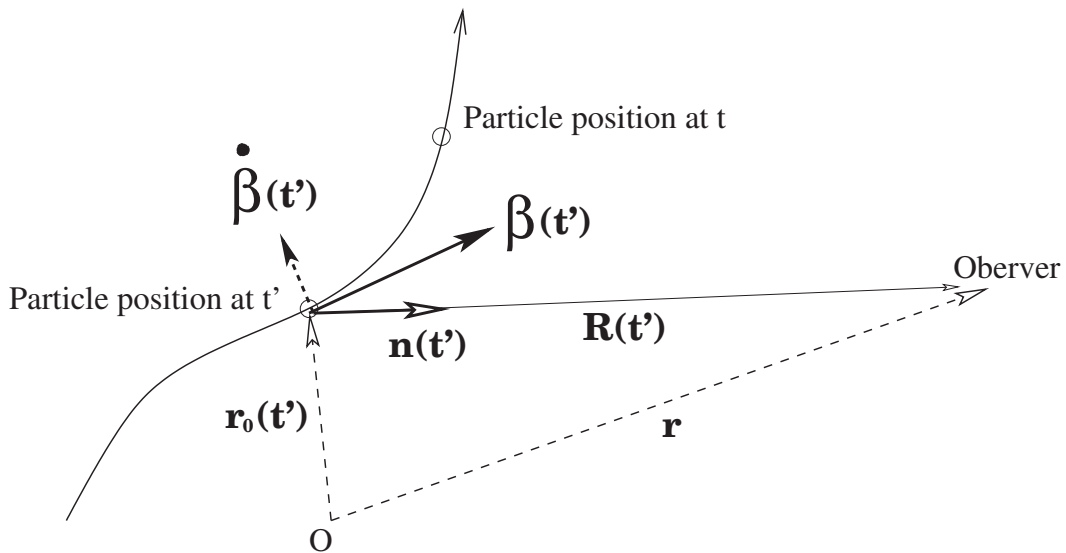


図 1 Geometry for calculation of the radiation field at $R(\mathbf{r}, t)$ from the position of the radiating particle at the retarded time ($t' = t_{\text{ret}}$).

座標、表記は以下の通り：

$$t' = t_{\text{ret}} \quad (1)$$

$$\mathbf{R}(t') = \mathbf{r} - \mathbf{r}_0(t') \quad (2)$$

$$R(t') = |\mathbf{R}(t')| \quad (3)$$

$$t' = t - \frac{R(t')}{c} \quad (4)$$

$$\mathbf{n}(t') = \frac{\mathbf{R}(t')}{R(t')} \quad (5)$$

$$\beta(t') = \frac{\mathbf{v}(t')}{c} \quad (6)$$

$$\gamma = \frac{1}{\sqrt{1 - \beta^2}} \quad (7)$$

$$\kappa(t') = 1 - \mathbf{n}(t') \cdot \beta(t') \quad (8)$$

$$\frac{\partial f(t')}{\partial t'} \equiv \dot{f}(t'), \quad \frac{\partial \mathbf{f}(t')}{\partial t'} \equiv \dot{\mathbf{f}}(t'). \quad (9)$$

又、

$$R(t') = \mathbf{R}(t') \cdot \mathbf{n}(t') = (\mathbf{r} - \mathbf{r}_0(t')) \cdot \mathbf{n}(t') = \mathbf{n}(t') \cdot \mathbf{r} - \mathbf{n}(t') \cdot \mathbf{r}_0(t')$$

$$R^2(t') = \mathbf{R}(t') \cdot \mathbf{R}(t') \longrightarrow \dot{R}(t') = \mathbf{n}(t') \cdot \dot{\mathbf{R}}(t'), \quad \therefore dt' = dt - \frac{1}{c} \frac{dR(t')}{dt'} dt' = dt - \mathbf{n} \cdot \dot{\mathbf{R}}(t') dt'$$

であるから、以下を得る：

$$\therefore R(t') = \mathbf{n}(t') \cdot \mathbf{r} - \mathbf{n}(t') \cdot \mathbf{r}_0(t'), \quad dt = \kappa(t') dt'; \quad t = \frac{\mathbf{r} \cdot \mathbf{n}}{c} + t' - \frac{\mathbf{n} \cdot \mathbf{r}_0(t')}{c}. \quad (10)$$

2 Fourier Spectrum

位置 \mathbf{r} に居る観測者が時刻 t に観測する加速荷電粒子からの輻射場のフーリエスペクトルを求める。これは以下の積分を実行すればよい：

$$\hat{\mathbf{E}}(\mathbf{r}, \omega) = \frac{1}{2\pi} \frac{q}{c} \int_{T_1}^{T_2} \frac{\mathbf{n}(t') \times \{(\mathbf{n}(t') - \boldsymbol{\beta}(t')) \times \dot{\boldsymbol{\beta}}(t')\}}{R(t') \kappa^3(t')} e^{-i\omega t} dt. \quad (11)$$

ここで $R(t') = |\mathbf{r} - \mathbf{r}_0(t')|$ は遅延時間 $t' = t - R(t')/c$ に $\mathbf{r}_0(t')$ にいた荷電粒子と観測者との相対距離である。又、 $T_1 < t < T_2$ はスペクトルを得る為の観測が行われた期間である。但しこの間に荷電粒子の加速度が有限の値を持つとした。

荷電粒子と観測者は十分離れている為、 $R(t')$ の時間内での変化は無視できるとし、 $R(t') = R = \text{Const}$ とする。又、同様の理由で $\mathbf{n}(t')$ も時間に依存しないとする。これらの近似を用いて積分変数を t から t' に変換すると、

$$\begin{aligned} \hat{\mathbf{E}}(\mathbf{r}, \omega) &= \frac{q}{2\pi c R} e^{-i\omega \mathbf{n} \cdot \mathbf{r}/c} \int_{T_1 - R(T'_1)/c}^{T_2 - R(T'_2)/c} \frac{\mathbf{n}(t') \times \{(\mathbf{n}(t') - \boldsymbol{\beta}(t')) \times \dot{\boldsymbol{\beta}}(t')\}}{R(t') \kappa^2(t')} e^{-i\omega(t' - \mathbf{n} \cdot \mathbf{r}_0(t')/c)} dt' \\ &= \frac{q}{2\pi c R} e^{-i\omega \mathbf{n} \cdot \mathbf{r}/c} \int_{T'_1}^{T'_2} \frac{\mathbf{n} \times \{(\mathbf{n} - \boldsymbol{\beta}(t')) \times \dot{\boldsymbol{\beta}}(t')\}}{\kappa^2(t')} e^{-i\omega(t' - \mathbf{n} \cdot \mathbf{r}_0(t')/c)} dt'; \quad \left[T'_i = T_i - \frac{R}{c}, i = 1, 2 \right] \end{aligned} \quad (12)$$

を得る。被積分関数は

$$\begin{aligned} \mathbf{n} \times \{(\mathbf{n} - \boldsymbol{\beta}(t')) \times \dot{\boldsymbol{\beta}}(t')\} &= -\dot{\boldsymbol{\beta}}(t') + (\mathbf{n} \cdot \boldsymbol{\beta}(t')) \dot{\boldsymbol{\beta}}(t') + (\mathbf{n} \cdot \dot{\boldsymbol{\beta}}(t')) (\mathbf{n} - \boldsymbol{\beta}(t')) \\ \mathbf{n} \times (\mathbf{n} \times \boldsymbol{\beta}(t')) &= -\boldsymbol{\beta}(t') + (\mathbf{n} \cdot \boldsymbol{\beta}(t')) \mathbf{n} \end{aligned}$$

であり、又、

$$\begin{aligned} \frac{d}{dt'} \left\{ \frac{\mathbf{n} \times (\mathbf{n} \times \boldsymbol{\beta}(t'))}{\kappa(t')} \right\} &= \frac{\mathbf{n} \times (\mathbf{n} \times \dot{\boldsymbol{\beta}}(t')) \kappa(t') - \dot{\kappa}(t') \{ \mathbf{n} \times (\mathbf{n} \times \boldsymbol{\beta}(t')) \}}{\kappa^2(t')} \\ &= \frac{\mathbf{n} \times (\mathbf{n} \times \dot{\boldsymbol{\beta}}(t')) (1 - \mathbf{n} \cdot \boldsymbol{\beta}(t')) + \mathbf{n} \cdot \dot{\boldsymbol{\beta}}(t') \{ \mathbf{n} \times (\mathbf{n} \times \boldsymbol{\beta}(t')) \}}{\kappa^2(t')} \\ &= \frac{-\dot{\boldsymbol{\beta}}(t') + (\mathbf{n} \cdot \dot{\boldsymbol{\beta}}(t')) \mathbf{n} + (\mathbf{n} \cdot \boldsymbol{\beta}(t')) \dot{\boldsymbol{\beta}}(t') - (\mathbf{n} \cdot \dot{\boldsymbol{\beta}}(t')) \boldsymbol{\beta}(t')}{\kappa^2(t')} \\ &= \frac{-\dot{\boldsymbol{\beta}}(t') + (\mathbf{n} \cdot \boldsymbol{\beta}(t')) \dot{\boldsymbol{\beta}}(t') + (\mathbf{n} \cdot \dot{\boldsymbol{\beta}}(t')) (\mathbf{n} - \boldsymbol{\beta}(t'))}{\kappa^3(t')} = \frac{\mathbf{n} \times \{(\mathbf{n} - \boldsymbol{\beta}(t')) \times \dot{\boldsymbol{\beta}}(t')\}}{\kappa^2(t')} \end{aligned}$$

であるから、以下のように書ける：

$$\begin{aligned}
\hat{\mathbf{E}}(\mathbf{r}, \omega) &= \frac{q}{2\pi c R} e^{-i\omega \mathbf{n} \cdot \mathbf{r}/c} \int_{T'_1}^{T'_2} \frac{d}{dt'} \left\{ \frac{\mathbf{n} \times (\mathbf{n} \times \boldsymbol{\beta}(t'))}{\kappa(t')} \right\} e^{-i\omega(t' - \mathbf{n} \cdot \mathbf{r}_0(t')/c)} dt' \\
&= \frac{q}{2\pi c R} e^{-i\omega \mathbf{n} \cdot \mathbf{r}/c} \left[\frac{\mathbf{n} \times (\mathbf{n} \times \boldsymbol{\beta}(t'))}{\kappa(t')} e^{-i\omega(t' - \mathbf{n} \cdot \mathbf{r}_0(t')/c)} \right]_{T'_1}^{T'_2} - \frac{q}{2\pi c R} e^{-i\omega \mathbf{n} \cdot \mathbf{r}/c} \int_{T'_1}^{T'_2} \left\{ \frac{\mathbf{n} \times (\mathbf{n} \times \boldsymbol{\beta}(t'))}{\kappa(t')} \right\} \frac{d}{dt'} \left\{ e^{-i\omega(t' - \mathbf{n} \cdot \mathbf{r}_0(t')/c)} \right\} dt' \\
&= \frac{q}{2\pi c R} e^{-i\omega \mathbf{n} \cdot \mathbf{r}/c} \left[\frac{\mathbf{n} \times (\mathbf{n} \times \boldsymbol{\beta}(t'))}{\kappa(t')} e^{-i\omega(t' - \mathbf{n} \cdot \mathbf{r}_0(t')/c)} \right]_{T'_1}^{T'_2} \\
&\quad - \frac{q}{2\pi c R} e^{-i\omega \mathbf{n} \cdot \mathbf{r}/c} \int_{T'_1}^{T'_2} \left\{ \frac{\mathbf{n} \times (\mathbf{n} \times \boldsymbol{\beta}(t'))}{\kappa(t')} \right\} e^{-i\omega(t' - \mathbf{n} \cdot \mathbf{r}_0(t')/c)} \frac{d}{dt'} \{-i\omega(t' - \mathbf{n} \cdot \mathbf{r}_0(t')/c)\} dt' \\
&= \frac{q}{2\pi c R} e^{-i\omega \mathbf{n} \cdot \mathbf{r}/c} \left[\frac{\mathbf{n} \times (\mathbf{n} \times \boldsymbol{\beta}(t'))}{\kappa(t')} e^{-i\omega(t' - \mathbf{n} \cdot \mathbf{r}_0(t')/c)} \right]_{T'_1}^{T'_2} + \frac{iq\omega}{2\pi c R} e^{-i\omega \mathbf{n} \cdot \mathbf{r}/c} \int_{T'_1}^{T'_2} \left\{ \mathbf{n} \times (\mathbf{n} \times \boldsymbol{\beta}(t')) e^{-i\omega(t' - \mathbf{n} \cdot \mathbf{r}_0(t')/c)} \right\} dt'.
\end{aligned} \tag{13}$$

以下の計算では、長時間平均を行うものとする。つまり部分積分を行ったとき、積分の外に出た項の寄与は無視できるので、始めから無視することにする。よって Eq.(13) は以下のように書ける：

$$\hat{\mathbf{E}}(\mathbf{r}, \omega) = \frac{iq\omega}{2\pi c R} e^{-i\omega \mathbf{n} \cdot \mathbf{r}/c} \int_{T'_1}^{T'_2} \left\{ \mathbf{n} \times (\mathbf{n} \times \boldsymbol{\beta}(t')) e^{-i\omega(t' - \mathbf{n} \cdot \mathbf{r}_0(t')/c)} \right\} dt'. \tag{14}$$

3 Synchrotron Radiation

一様磁場 \mathbf{B} の中を運動する相対論的電子からの放射の周波数分布の厳密な形を導く。電場が存在しない状況を考える。

3.1 電場

電荷 q を持つ荷電粒子の運動方程式は

$$\frac{d}{dt} (\gamma m \boldsymbol{\beta}) = \frac{q}{c} \boldsymbol{\beta} \times \mathbf{B} \tag{15}$$

である。これから以下の式を得る：

$$\dot{\boldsymbol{\beta}} = -\omega_B \times \boldsymbol{\beta}; \quad \omega_B = \frac{q\mathbf{B}}{mc} \frac{1}{\gamma}. \tag{16}$$

磁場に平行な成分を \parallel 、垂直な成分を \perp と書くと、

$$\dot{\boldsymbol{\beta}}_\parallel = 0, \quad \dot{\boldsymbol{\beta}}_\perp = -\omega_B \times \boldsymbol{\beta}_\perp \tag{17}$$

と書ける。そこで右手系の座標 $\hat{\mathbf{x}}, \hat{\mathbf{y}}, \hat{\mathbf{z}}$ をとり、この z 軸と磁場 \mathbf{B} の方向を一致させる。

今は単一の電子だけを考えて $q = -e$ とすると、

$$\omega_B = |\omega_B| = \frac{eB}{m_e c} \frac{1}{\gamma} = \frac{\omega_{ce}}{\gamma} = \omega_{se}. \tag{18}$$

この時の方程式の解は、

$$\frac{\mathbf{r}_0(t')}{c} = \frac{\boldsymbol{\beta}}{\omega_{se}} [\hat{\mathbf{x}} \cos(\omega_{se} t') + \hat{\mathbf{y}} \sin(\omega_{se} t')] \tag{19}$$

$$\boldsymbol{\beta}(t') = \boldsymbol{\beta} [-\hat{\mathbf{x}} \sin(\omega_{se} t') + \hat{\mathbf{y}} \cos(\omega_{se} t')] \tag{20}$$

となる。

以上のような座標の取り方で電子の運動を考えることで、一般性を失うことなく視線方向を yz 平面内に限定することが出来る。視線方向と z 軸との成す角を θ とし、 $\mathbf{n} = (0, \sin \theta, \cos \theta)$ と書く。

以上から、

$$\begin{aligned}\mathbf{n} \times (\mathbf{n} \times \beta(t')) &= (\mathbf{n} \cdot \beta(t')) \mathbf{n} - \beta(t') = \beta \sin \theta \cos(\omega_{se} t') (\hat{\mathbf{y}} \sin \theta + \hat{\mathbf{z}} \cos \theta) - \beta [-\hat{\mathbf{x}} \sin(\omega_{se} t') + \hat{\mathbf{y}} \cos(\omega_{se} t')] \\ &= \hat{\mathbf{x}} \beta \sin(\omega_{se} t') - \hat{\mathbf{y}} \beta \cos^2 \theta \cos(\omega_{se} t') + \hat{\mathbf{z}} \beta \sin \theta \cos(\omega_{se} t')\end{aligned}\quad (21)$$

と書ける。この式を Eq.(14) に代入する。

始めに x 成分について考える。

$$\hat{E}_x(\mathbf{r}, \omega) = -\frac{ie\omega\beta}{2\pi cR} e^{i\phi} \int_{T'_1}^{T'_2} \sin(\omega_{se} t') e^{-i[\omega t' - \lambda \sin(\omega_{se} t')]} dt'; \quad \phi = -\omega \frac{\mathbf{n} \cdot \mathbf{r}}{c}, \quad \lambda = \frac{\omega}{\omega_{se}} \sin \theta \quad (22)$$

Eq.(42)

$$e^{i\lambda \sin(\omega_{se} t')} = \sum_{n=-\infty}^{\infty} J_n(\lambda) e^{in(\omega_{se} t')}; \quad J_n(\lambda) : \text{Bessel Function}$$

の両辺を λ で微分すると、

$$\frac{\partial}{\partial \lambda} e^{i\lambda \sin(\omega_{se} t')} = \sum_{n=-\infty}^{\infty} J'_n(\lambda) e^{in(\omega_{se} t')}; \quad \frac{\partial}{\partial \lambda} J_n(\lambda) \equiv J'_n(\lambda)$$

であるから、

$$\begin{aligned}\frac{\partial}{\partial \lambda} e^{-i[\omega t' - \lambda \sin(\omega_{se} t')]} &= i \sin(\omega_{se} t') e^{-i[\omega t' - \lambda \sin(\omega_{se} t')]} = \sum_{n=-\infty}^{\infty} J'_n(\lambda) e^{-i(\omega - n\omega_{se})t'} \\ \implies \sin(\omega_{se} t') e^{-i[\omega t' - \lambda \sin(\omega_{se} t')]} &= -i \sum_{n=-\infty}^{\infty} J'_n(\lambda) e^{-i(\omega - n\omega_{se})t'}\end{aligned}$$

を得る。この式を Eq.(22) に代入すると、

$$\hat{E}_x(\mathbf{r}, \omega) = -\frac{e\omega\beta}{2\pi cR} e^{i\phi} \sum_{n=-\infty}^{\infty} J'_n(\lambda) \int_{T'_1}^{T'_2} e^{-i(\omega - n\omega_{se})t'} dt' \quad (23)$$

となる。残された積分は $T'_1 = T'_0 - T'/2$, $T'_2 = T'_0 + T'/2$ と置くことで実行でき、

$$\begin{aligned}\int_{T'_1}^{T'_2} e^{-i(\omega - n\omega_{se})t'} dt' &= \left[\frac{e^{-i(\omega - n\omega_{se})t'}}{-i(\omega - n\omega_{se})} \right]_{T'_0 - \frac{T'}{2}}^{T'_0 + \frac{T'}{2}} = T' e^{-i(\omega - n\omega_{se})T'_0} \text{sinc} \left[\frac{(\omega - n\omega_{se})T'}{2} \right] \\ &= T' e^{i\psi} \text{sinc} \left[\frac{(\omega - n\omega_{se})T'}{2} \right]; \quad \psi = -(\omega - n\omega_{se})T'_0\end{aligned}\quad (24)$$

となる。以上から、

$$\hat{E}_x(\mathbf{r}, \omega) = -\frac{e\omega\beta}{2\pi cR} e^{i\varphi} \sum_{n=-\infty}^{\infty} J'_n(\lambda) T' \text{sinc} \left[\frac{(\omega - n\omega_{se})T'}{2} \right]; \quad \varphi = \phi + \psi = -\omega \frac{\mathbf{n} \cdot \mathbf{r}}{c} - (\omega - n\omega_{se})T'_0 \quad (25)$$

を得る。

次に y 成分について考える。 y 成分は

$$\hat{E}_y(\mathbf{r}, \omega) = \frac{ie\omega}{2\pi cR} \cos^2 \theta e^{i\phi} \int_{T'_1}^{T'_2} \beta \cos(\omega_{se} t') e^{-i[\omega t' - \lambda \sin(\omega_{se} t')]} dt' \quad (26)$$

と書けるが、 $e^{-i[\omega t' - \lambda \sin(\omega_{se} t')]} を t' で微分すると$

$$\frac{\partial}{\partial t'} e^{-i[\omega t' - \lambda \sin(\omega_{se} t')]} = -i [\omega - \lambda \omega_{se} \cos(\omega_{se} t')] e^{-i[\omega t' - \lambda \sin(\omega_{se} t')]} = -i\omega [1 - \beta \sin \theta \cos(\omega_{se} t')] e^{-i[\omega t' - \lambda \sin(\omega_{se} t')]} \quad (27)$$

$$\implies \beta \cos(\omega_{se} t') e^{-i[\omega t' - \lambda \sin(\omega_{se} t')]} = \frac{1}{i\omega \sin \theta} \frac{\partial}{\partial t'} e^{-i[\omega t' - \lambda \sin(\omega_{se} t')]} + \frac{1}{\sin \theta} e^{-i[\omega t' - \lambda \sin(\omega_{se} t')]} \quad (26)$$

であるから。この関係を使い、また積分の第一項目を無視することで以下を得る：

$$\begin{aligned} \hat{E}_y(\mathbf{r}, \omega) &= \frac{ie\omega}{2\pi c R} \cos^2 \theta e^{i\phi} \int_{T'_1}^{T'_2} \left[\frac{1}{i\omega \sin \theta} \frac{\partial}{\partial t'} e^{-i[\omega t' - \lambda \sin(\omega_{se} t')]} + \frac{1}{\sin \theta} e^{-i[\omega t' - \lambda \sin(\omega_{se} t')]} \right] dt' \\ &= \frac{ie\omega}{2\pi c R} \cos^2 \theta e^{i\phi} \left\{ \left[\frac{1}{i\omega \sin \theta} e^{-i[\omega t' - \lambda \sin(\omega_{se} t')]} \right]_{T'_1}^{T'_2} + \int_{T'_1}^{T'_2} \frac{1}{\sin \theta} e^{-i[\omega t' - \lambda \sin(\omega_{se} t')]} dt' \right\} \\ &= \frac{ie\omega}{2\pi c R} \frac{\cos^2 \theta}{\sin \theta} e^{i\phi} \int_{T'_1}^{T'_2} e^{-i[\omega t' - \lambda \sin(\omega_{se} t')]} dt' = \frac{ie\omega}{2\pi c R} \frac{\cos^2 \theta}{\sin \theta} e^{i\phi} \sum_{n=-\infty}^{\infty} J_n(\lambda) \int_{T'_1}^{T'_2} e^{-(\omega - n\omega_{se})t'} dt'; \quad \because \text{Eq.(42)} \\ &= \frac{ie\omega}{2\pi c R} \frac{\cos^2 \theta}{\sin \theta} e^{i\varphi} \sum_{n=-\infty}^{\infty} J_n(\lambda) T' \text{sinc} \left[\frac{(\omega - n\omega_{se})T'}{2} \right]. \end{aligned} \quad (27)$$

最後に z 成分について考える。z 成分は、

$$\hat{E}_z(\mathbf{r}, \omega) = \frac{ie\omega}{2\pi c R} \sin \theta \cos \theta e^{i\phi} \int_{T'_1}^{T'_2} \beta \cos(\omega_{se} t') e^{-i[\omega t' - \lambda \sin(\omega_{se} t')]} dt' \quad (28)$$

であり、y 成分の $-\cos^2 \theta$ が $\sin \theta \cos \theta$ に変わっただけである。よって以下を得る：

$$\hat{E}_z(\mathbf{r}, \omega) = -\frac{ie\omega}{2\pi c R} \cos \theta e^{i\varphi} \sum_{n=-\infty}^{\infty} J_n(\lambda) T' \text{sinc} \left[\frac{(\omega - n\omega_{se})T'}{2} \right]. \quad (29)$$

4 Energy Spectrum (前半)

4.1 放射強度

各成分の単位時間あたり、単位周波数あたり、単位立体角あたりのエネルギーを求める。x 成分は

$$\frac{dW_x}{d\omega d\Omega dt} = \frac{c |\hat{E}_x|^2 R^2}{T} = \frac{e^2 \beta^2}{4\pi^2 c} \sum_{n,n'=-\infty}^{\infty} \omega^2 J_{n'}(\lambda) J_n(\lambda) \text{sinc} \left[\frac{(\omega - n'\omega_{se})T'}{2} \right] \text{sinc} \left[\frac{(\omega - n\omega_{se})T'}{2} \right] \quad (30)$$

であるが、sinc function の性質から異なる次数 n が掛け合わさった項を零とすると以下を得る：

$$\frac{dW_x}{d\omega d\Omega dt} = \frac{e^2 \beta^2}{4\pi^2 c} \sum_{n=-\infty}^{\infty} \omega^2 J_n^2(\lambda) T' \text{sinc}^2 \left[\frac{(\omega - n\omega_{se})T'}{2} \right]. \quad (31)$$

同様に y,z 成分についても計算すると以下を得る：

$$\frac{d(W_y + W_z)}{d\omega d\Omega dt} = \frac{e^2}{4\pi^2 c} \frac{\cos^2 \theta}{\sin^2 \theta} \sum_{n=-\infty}^{\infty} \omega^2 J_n^2(\lambda) T' \text{sinc}^2 \left[\frac{(\omega - n\omega_{se})T'}{2} \right]. \quad (32)$$

4.2 周波数積分

sinc function の二乗の $[-\infty, +\infty]$ 積分は、

$$\int_{-\infty}^{+\infty} \text{sinc}^2 X dX = \pi$$

である。これより、

$$\lim_{T' \rightarrow \infty} \int_{-T'}^{T'} T' \text{sinc}^2 \left[\frac{(\omega - n\omega_{se})T'}{2} \right] d\omega = 2\pi \iff \lim_{T' \rightarrow \infty} T' \text{sinc}^2 \left[\frac{(\omega - n\omega_{se})T'}{2} \right] = 2\pi \delta(\omega - n\omega_{se}) \quad (33)$$

となる。よって Eq.(31),(32) の周波数積分は以下のように書ける：

$$\frac{dW_x}{d\Omega dt} = \int d\omega \frac{dW_x}{d\omega d\Omega dt} = \frac{e^2 \beta^2}{2\pi c} \sum_{n=-\infty}^{\infty} \omega_n^2 J_n'^2(\lambda_n) \quad (34)$$

$$\frac{d(W_y + W_z)}{d\Omega dt} = \int d\omega \frac{d(W_y + W_z)}{d\omega d\Omega dt} = \frac{e^2}{2\pi c} \frac{\cos^2 \theta}{\sin^2 \theta} \sum_{n=-\infty}^{\infty} \omega_n^2 J_n'^2(\lambda_n). \quad (35)$$

ここで、 $\omega_n = n\omega_{se}$, $\lambda_n = n\beta \sin \theta$ である。

5 Bessel Function

$$J_n(z) = \frac{1}{\pi} \int_0^\pi \cos(n\varphi - z \sin \varphi) d\varphi \quad (36)$$

で定義される Bessel Function について考える。

5.1 漸化式

Bessel Function について以下の関係式が成り立つ：

$$\frac{2n}{z} J_n(z) = J_{n-1}(z) + J_{n+1}(z) \quad (37)$$

$$2 \frac{d}{dz} J_n(z) = J_{n-1}(z) - J_{n+1}(z). \quad (38)$$

証明

$$\begin{aligned} \text{RHS of Eq.(37)} &= \frac{1}{\pi} \int_0^\pi \{\cos([n-1]\varphi - z \sin \varphi) + \cos([n+1]\varphi - z \sin \varphi)\} = \frac{2}{\pi} \int_0^\pi \cos(n\varphi - z \sin \varphi) \cos \varphi d\varphi \\ n\varphi - z \sin \varphi &= \xi \rightarrow d\xi = nd\varphi - z \cos \varphi d\varphi; \quad \therefore \cos \varphi d\varphi = \frac{-d\xi + nd\varphi}{z}; \quad \begin{array}{c|cc} \varphi & 0 & \rightarrow & \pi \\ \xi & 0 & \rightarrow & n\pi \end{array} \\ &= \frac{2}{\pi} \int_0^\pi \cos(n\varphi - z \sin \varphi) \cos \varphi d\varphi = \frac{2n}{z} \frac{1}{\pi} \int_0^\pi \cos(n\varphi - z \sin \varphi) d\varphi - \frac{2}{z\pi} \int_0^{n\pi} \cos \xi d\xi \\ &= \frac{2n}{z} J_n(z) + 0 = \text{LHS of Eq.(37)} \end{aligned}$$

$$\begin{aligned} \text{LHS of Eq.(38)} &= \frac{2}{\pi} \int_0^\pi \{-\sin(n\varphi - z \sin \varphi)\} (-\sin \varphi) d\varphi \\ &= \frac{1}{\pi} \int_0^\pi \{\cos([n-1]\varphi - z \sin \varphi) - \cos([n+1]\varphi - z \sin \varphi)\} d\varphi = J_{n-1}(z) - J_{n+1}(z) \\ &= \text{RHS of Eq.(38)} \end{aligned}$$

$$\cos A + \cos B = 2 \cos \frac{A+B}{2} \cos \frac{A-B}{2}; \quad \cos A - \cos B = -2 \sin \frac{A+B}{2} \sin \frac{A-B}{2}$$

5.2 Bessel 微分方程式

Bessel Function: $J_n(z)$ は以下の微分方程式の解である：

$$\frac{d^2}{dz^2} y_n(z) + \frac{1}{z} \frac{d}{dz} y_n(z) + \left(1 - \frac{n^2}{z^2}\right) y_n(z) = 0. \quad (39)$$

証明

$$2 \frac{d}{dz} J_n(z) = J_{n-1}(z) - J_{n+1}(z) = \frac{2n}{z} J_n(z) - J_{n+1}(z) - J_{n+1}(z) = \frac{2n}{z} J_n(z) - 2J_n(z)$$

$$\Rightarrow \left(-\frac{d}{dz} + \frac{n}{z} \right) J_n(z) = J_{n+1}(z) \quad : \text{上昇演算子}$$

$$2 \frac{d}{dz} J_n(z) = J_{n-1}(z) - J_{n+1}(z) = J_{n-1}(z) - \frac{2n}{z} J_n(z) + J_{n-1}(z) = -\frac{2n}{z} J_n(z) + 2J_{n+1}(z)$$

$$\Rightarrow \left(\frac{d}{dz} + \frac{n}{z} \right) J_n(z) = J_{n-1}(z) \quad : \text{下降演算子}$$

$$\therefore \left(\frac{d}{dz} + \frac{n+1}{z} \right) \left(-\frac{d}{dz} + \frac{n}{z} \right) J_n(z) = J_n(z) \longrightarrow \text{Eq.(39)}$$

5.3 Bessel Function の exponential の積分形での定義

Bessel Function は exponential の積分で以下のように書ける。

$$J_n(z) = \frac{1}{2\pi} \int_0^{2\pi} e^{iz \sin \varphi - in\varphi} d\varphi \quad (40)$$

$$= \frac{i^{-n}}{2\pi} \int_0^{2\pi} e^{iz \cos \varphi + in\varphi} d\varphi \quad (41)$$

証明

$$\begin{aligned} J_n(z) &= \frac{1}{\pi} \int_0^\pi \cos(n\varphi - z \sin \varphi) d\varphi = \frac{1}{2\pi} \int_0^\pi (e^{iz \sin \varphi - in\varphi} + e^{-iz \sin \varphi + in\varphi}) d\varphi = \frac{1}{2\pi} \int_0^\pi e^{iz \sin \varphi - in\varphi} d\varphi + \frac{1}{2\pi} \int_{-\pi}^0 e^{+iz \sin \xi - in\xi} d\xi \\ &= \frac{1}{2\pi} \int_0^\pi e^{iz \sin \varphi - in\varphi} d\varphi + \frac{1}{2\pi} \int_{-\pi}^0 e^{+iz \sin \xi - in\xi} d\xi; \quad \zeta = \xi + 2\pi, \quad \frac{\xi}{\zeta} \begin{array}{c|cc} -\pi & \rightarrow & 0 \\ \hline \pi & \rightarrow & 2\pi \end{array} \\ &= \frac{1}{2\pi} \int_0^\pi e^{iz \sin \varphi - in\varphi} d\varphi + \frac{1}{2\pi} \int_\pi^{2\pi} e^{+iz \sin \zeta - in\xi} d\xi \\ &= \frac{1}{2\pi} \int_0^{2\pi} e^{iz \sin \varphi - in\varphi} d\varphi \end{aligned}$$

$$\begin{aligned} J_n(z) &= \frac{1}{2\pi} \int_0^{2\pi} e^{iz \sin \varphi - in\varphi} d\varphi = \frac{1}{2\pi} \int_{\pi/2}^{-3/2\pi} e^{iz \cos \xi + in\xi} \cdot i^{-n} (-d\xi); \quad ; \quad \varphi = \frac{\pi}{2} - \xi, \quad \frac{\varphi}{\xi} \begin{array}{c|cc} 0 & \rightarrow & 2\pi \\ \hline \pi/2 & \rightarrow & -3/2\pi \end{array} \\ &= \frac{i^{-n}}{2\pi} \int \{-3/2\pi\}^{\pi/2} e^{iz \cos \xi + in\xi} d\xi = \frac{i^{-n}}{2\pi} \left(\int_0^{2\pi} + \int_{2\pi}^{\pi/2} + \int_{-3/2\pi}^0 \right) e^{iz \cos \xi + in\xi} d\xi \\ &\quad \int_{-3/2\pi}^0 e^{iz \cos \xi + in\xi} d\xi = \int_{\pi/2}^{2\pi} e^{iz \cos \varphi + in\varphi} d\varphi = - \int_{2\pi}^{\pi/2} e^{iz \cos \varphi + in\varphi} d\varphi; \quad \xi + 2\pi = \varphi, \quad \frac{\xi}{\varphi} \begin{array}{c|cc} -3/2\pi & \rightarrow & 0 \\ \hline \pi/2 & \rightarrow & 2\pi \end{array} \\ &= \frac{i^{-n}}{2\pi} \left(\int_0^{2\pi} + \int_{2\pi}^{\pi/2} - \int_{\pi/2}^{2\pi} \right) e^{iz \cos \xi + in\xi} d\xi \\ &= \frac{i^{-n}}{2\pi} \int_0^{2\pi} e^{iz \cos \varphi + in\varphi} d\varphi \end{aligned}$$

5.4 Bessel Function の Fourier 級数表示

Bessel Function は以下のような複素 Fourier 級数表示出来る：

$$e^{iz \sin \varphi} = \sum_{n=-\infty}^{+\infty} J_n(z) e^{+in\varphi}. \quad (42)$$

証明 複素 Fourier 級数：

$$\begin{aligned} f(x) &= f(x + n\lambda) = \sum_{n=-\infty}^{+\infty} c_n e^{+in(2\pi/\lambda)x}; \quad c_n = \frac{1}{\lambda} \int_0^\lambda f(x) e^{-in(2\pi/\lambda)x} dx. \\ \Rightarrow f(\varphi) &= e^{iz \sin \varphi} = e^{iz \sin(\varphi + 2\pi)} = f(\varphi + 2\pi) = \sum_{n=-\infty}^{+\infty} c_n e^{+in\varphi}; \quad c_n = \frac{1}{2\pi} \int_0^{2\pi} e^{iz \sin \varphi - in\varphi} d\varphi = J_n(z), \quad \because \text{Eq.(40)} \\ \therefore e^{iz \sin \varphi} &= \sum_{n=-\infty}^{+\infty} J_n(z) e^{+in\varphi} \end{aligned}$$

6 Modified Bessel Function

以下の式で定義される関数を Modified Bessel function(or Macdonald function) と呼ぶ：

$$K_\nu(z) = \int_0^\infty e^{-z \cosh(t)} \cosh(\nu t) dt; \quad \text{here } z > 0. \quad (43)$$

6.1 漸化式

Modified Bessel function: $K_\nu(z)$ 配下の関係式を満たす：

$$\frac{2\nu}{z} K_\nu(z) = -K_{\nu-1}(z) + K_{\nu+1}(z) \quad (44)$$

$$2K'_\nu(z) = -K_{\nu-1}(z) - K_{\nu+1}(z); \quad K'_\nu(z) \equiv \frac{d}{dz} K_\nu(z) \quad (45)$$

$$K_{-\nu}(z) = K_\nu(z). \quad (46)$$

証明

$$\begin{aligned} \text{RHS of Eq.(44)} &= \int_0^\infty e^{-z \cosh(t)} \cosh(\nu t) dt = \int_0^\infty e^{-z \cosh(t)} (-\cosh[(\nu-1)t] + \cosh[(\nu+1)t]) dt \\ &= \int_0^\infty e^{-z \cosh(t)} 2 \sinh(\nu t) \sinh(t) dt; \quad \because \cosh(x) - \cosh(y) = 2 \sinh \frac{x+y}{2} \sinh \frac{x-y}{2} \\ &= -\frac{2}{z} \int_0^\infty \frac{d}{dt} (e^{-z \cosh(t)}) \sinh(\nu t) dt; \quad \because (\sinh x)' = \cosh x, (\cosh x)' = \sinh x, \\ &= -\frac{2}{z} \left([e^{-z \cosh(t)}]_0^\infty - \int_0^\infty e^{-z \cosh(t)} \cosh(\nu t) dt \right) = \frac{2}{z} \int_0^\infty e^{-z \cosh(t)} \cosh(\nu t) dt \\ &= \text{LHS of Eq.(44)} \end{aligned}$$

$$\begin{aligned}
\text{LHS of Eq.(45)} &= 2 \frac{d}{dz} \int_0^\infty e^{-z \cosh(t)} \cosh(vt) dt = -2 \int_0^\infty e^{-z \cosh(t)} \cosh(t) \cosh(vt) dt \\
\text{RHS of Eq.(45)} &= -(K_{v-1}(z) + K_{v+1}(z)) = - \int_0^\infty e^{-z \cosh(t)} (\cosh[(v-1)t] + \cosh[(v+1)t]) dt \\
&= -2 \int_0^\infty e^{-z \cosh(t)} \cosh(vt) \cosh(t) dt; \quad \because \cosh x + \cosh y = 2 \cosh \frac{x+y}{2} \cosh \frac{x-y}{2}, \cosh(-x) = \cosh x
\end{aligned}$$

6.2

Modified Bessel Function は以下の微分方程式を満たす：

$$K_v''(z) + \frac{1}{z} K_v'(z) - \left(1 + \frac{v^2}{z^2}\right) K_v(z) = 0. \quad (47)$$

証明 Eq.(44),(45) より、

$$\begin{aligned}
-\left(\frac{2v}{z} K_v(z) + 2K_v(z)v\right) &= 2K_{v-1}(z) \implies -\left(\frac{d}{dz} + \frac{v}{z}\right) K_v(z) = K_{v-1}(z) \quad : \text{下降演算子} \\
\frac{2v}{z} K_v(z) - 2K_v(z)v &= 2K_{v+1}(z) \implies -\left(\frac{d}{dz} - \frac{v}{z}\right) K_v(z) = K_{v+1}(z) \quad : \text{上昇演算子} \\
\therefore \quad \left(\frac{d}{dz} - \frac{v-1}{z}\right) \left(\frac{d}{dz} + \frac{v}{z}\right) K_v(z) &= K_v(z) \longrightarrow \text{Eq.(47)}
\end{aligned}$$

7 Airy Function

以下の式で定義される関数をエアリー関数 (Airy function) と呼ぶ：

$$\Phi(z) = \frac{1}{\sqrt{\pi}} \int_0^\infty \cos\left(\frac{\xi^3}{3} + \xi z\right) d\xi \quad (48)$$

7.1 微分方程式

Airy Function は以下の微分方程式を満たす。但し $\lim_{x \rightarrow \infty} \sin x \rightarrow 0$:

$$\Phi''(z) = z\Phi(z). \quad (49)$$

証明

$$\begin{aligned}
\frac{d}{dz} \Phi(z) &= \frac{1}{\sqrt{\pi}} \int_0^\infty \frac{d}{dz} \cos\left(\frac{\xi^3}{3} + \xi z\right) d\xi = -\frac{1}{\sqrt{\pi}} \int_0^\infty \sin\left(\frac{\xi^3}{3} + \xi z\right) \xi d\xi \\
\frac{d^2}{dz^2} \Phi(z) &= -\frac{1}{\sqrt{\pi}} \int_0^\infty \cos\left(\frac{\xi^3}{3} + \xi z\right) \xi^2 d\xi; \quad \frac{\xi^3}{3} + \xi z = \zeta \rightarrow \xi^2 d\xi = d\zeta - zd\xi, \quad \frac{\xi}{\zeta} \Big| \begin{matrix} 0 & \rightarrow & \infty \\ 0 & \rightarrow & \infty \end{matrix} \\
&= -\frac{1}{\sqrt{\pi}} \left[\int_0^\infty \cos \xi d\xi - z \int_0^\infty \cos\left(\frac{\xi^3}{3} + \xi z\right) d\xi \right] = -\frac{1}{\sqrt{\pi}} [\sin \xi]_0^\infty + z \int_0^\infty \cos\left(\frac{\xi^3}{3} + \xi z\right) d\xi \\
&= z\Phi(z)
\end{aligned}$$

7.2

Airy Function と Modified Bessel Function の間には以下の関係が成り立つ：

$$\Phi(z) = \sqrt{\frac{z}{3\pi}} K_{1/3}\left(\frac{2}{3}z^{3/2}\right) \quad (50)$$

証明

$$\begin{aligned} \text{RHS of Eq.(50)} &= \frac{z^{1/2}}{\sqrt{3z}} \int_0^\infty e^{-\frac{2}{3}z^{3/2}\cosh(t)} \cosh\left(\frac{t}{3}\right) dt = y(z) \\ \frac{dy(z)}{dz} &= \frac{z^{-1/2}}{2\sqrt{3\pi}\pi} \int_0^\infty e^{-\frac{2}{3}z^{3/2}\cosh(t)} \cosh\left(\frac{t}{3}\right) dt - \frac{z}{\sqrt{3\pi}\pi} \int_0^\infty e^{-\frac{2}{3}z^{2/3}\cosh(t)} \cosh\left(\frac{t}{3}\right) \cosh(t) dt \\ &= \frac{z^{-1/2}}{2\sqrt{3\pi}} K_{1/3}\left(\frac{2}{3}z^{3/2}\right) - \frac{z}{2\sqrt{3\pi}} \left(K_{-2/3}\left(\frac{2}{3}z^{3/2}\right) + K_{4/3}\left(\frac{2}{3}z^{3/2}\right) \right) = -\frac{z}{\sqrt{3\pi}} K_{2/3}\left(\frac{2}{3}z^{3/2}\right) \end{aligned} \quad (51)$$

$$\begin{aligned} \frac{d^2y(z)}{dz^2} &= -\frac{1}{\sqrt{3\pi}} K_{2/3}\left(\frac{2}{3}z^{3/2}\right) + \frac{z^{3/2}}{2\sqrt{3\pi}} \left[K_{-1/3}\left(\frac{2}{3}z^{3/2}\right) + K_{5/3}\left(\frac{2}{3}z^{3/2}\right) \right] = \frac{z^{3/2}}{\sqrt{3\pi}} K_{1/3}\left(\frac{2}{3}z^{3/2}\right) \\ &= z \sqrt{\frac{z}{3\pi}} K_{1/3}\left(\frac{2}{3}z^{3/2}\right) = z\Phi(z) \end{aligned} \quad (52)$$

これで、Eq.(50) の右辺が Eq.(49) の解であることは示せた。更に、2つの境界 $z = 0, z = \infty$ での両辺の値が

$$\begin{aligned} \lim_{z \rightarrow \infty} \Phi(z) &= 0 \\ \lim_{z \rightarrow \infty} \sqrt{\frac{z}{3\pi}} K_{1/3}\left(\frac{2}{3}z^{3/2}\right) &= 0 \\ \lim_{z \rightarrow 0} \Phi(z) &= \frac{1}{\sqrt{\pi}} \int_0^\infty \cos \frac{\xi^3}{3} d\xi = \frac{3^{1/3}\sqrt{3}}{2\sqrt{\pi}} \int_0^\infty e^{t^3} dt \\ &= \frac{3^{1/3}}{2\sqrt{3\pi}} \int_0^\infty x^{-2/3} e^{-x} dx; \quad x = t^3 \rightarrow dt = \frac{1}{3} \frac{dx}{x^{2/3}} \\ &= \frac{3^{1/3}}{2\sqrt{3\pi}} \Gamma\left(\frac{1}{3}\right) \\ \lim_{z \rightarrow 0} \sqrt{\frac{z}{3\pi}} K_{1/3}\left(\frac{2}{3}z^{3/2}\right) &= \lim_{z \rightarrow 0} \frac{1}{\sqrt{3\pi}} z^{1/2} \frac{\Gamma\left(\frac{5}{6}\right)}{\sqrt{\pi}} \left(2 \cdot \frac{2}{3}z^{3/2}\right)^{1/3} \int_0^\infty \frac{dt}{\left(t^2 + \frac{4}{9}z^3\right)^{5/6}} \end{aligned}$$

ここで、

$$K_\nu(z) = \frac{\Gamma\left(\nu + \frac{1}{2}\right)(2z)^\nu}{\sqrt{\pi}} \int_0^\infty \frac{\cos t}{(t^2 + z^2)^{\nu+1/2}} dt$$

の関係式を使った。更に、

$$\begin{aligned} \frac{1}{\sqrt{3\pi}} z^{1/2} \frac{\Gamma\left(\frac{5}{6}\right)}{\sqrt{\pi}} \left(2 \cdot \frac{2}{3}z^{3/2}\right)^{1/3} \int_0^\infty \frac{dt}{\left(t^2 + \frac{4}{9}z^3\right)^{5/6}} &= \frac{\Gamma\left(\frac{5}{6}\right)}{\sqrt{3\pi}} \left(\frac{4}{3}\right)^{1/3} z \int_0^\infty \frac{\left(\frac{4}{9}z^3\right)^{1/2}}{\left[\left\{\frac{t}{(4z^3/9)^{1/2}}\right\}^2 + 1\right]^{5/6}} \frac{d\left(\frac{t}{[4z^3/9]^{1/2}}\right)}{(4z^3/9)^{5/6}} \\ &= \frac{\Gamma\left(\frac{5}{6}\right)}{\sqrt{3\pi}} \left(\frac{4}{3}\right)^{1/3} \frac{2/3}{(2/3)^{5/3}} \int_0^\infty \frac{dx}{(1+x^2)^{5/6}} = \frac{2^{1/3}\Gamma\left(\frac{5}{6}\right)}{\sqrt{3\pi}} \frac{(2/3)^{1/3}(2/3)}{(2/3)^{5/3}} \frac{\Gamma\left(\frac{5}{6} - \frac{1}{2}\right)\Gamma\left(\frac{1}{2}\right)}{2\Gamma\left(\frac{5}{6}\right)} \\ &= \frac{2^{1/3}}{\sqrt{3\pi}} \left(\frac{3}{2}\right)^{1/3} \frac{1}{2} \Gamma\left(\frac{1}{3}\right) \Gamma\left(\frac{1}{2}\right) = \frac{3^{1/3}}{2\sqrt{3\pi}} \Gamma\left(\frac{1}{3}\right) \end{aligned}$$

となる。よって 2 つの境界での両辺の値が等しいことが分かる。二階の微分方程式の解の一意性から、2 つの境界条件を与えれば、解が一意に決まることにより、Eq.(50) が正しいことが証明された。

7.3 $n \gg 1$ の場合の Bessel Function

$n \gg 1$ の時

$$J_n(n\epsilon) = \frac{1}{\pi} \int_0^\infty \pi \cos[n(\xi - \epsilon \sin \xi)] d\xi \quad (53)$$

が、以下の式で書ける：

$$J_n(n\epsilon) = \begin{cases} \frac{1}{\pi} \int_0^\infty \cos \left[n \left(\frac{1-\epsilon^2}{2}\xi + \frac{\xi^3}{6} \right) \right] d\xi & \text{for } \epsilon \sim 1 \\ 0 & \text{for } \epsilon \ll 1 \end{cases} \quad (54)$$

この積分には小さい角度 ξ のみが影響を与え、上限の値には殆ど依存しないので上限を $\xi \rightarrow \infty$ とした。小さい角度 ξ では $1 - \epsilon^2 \sim o(\xi^2)$ なので三次まで残した。

証明

$$\begin{aligned} \text{for } \epsilon \sim 1: \quad J_n(n\epsilon) &\sim \frac{1}{\pi} \int_0^\infty \cos \left[n \left\{ \xi - \epsilon \left[\xi - \frac{\xi^3}{6} + o(\xi^3) \right] \right\} \right] d\xi = \frac{1}{\pi} \int_0^\pi \cos \left(n \left[\xi(1-\epsilon) + \frac{\xi^3}{6} \right] \right) d\xi \\ &= \frac{1}{\pi} \int_0^\pi \cos \left(\frac{1-\epsilon^2}{2}\xi + \frac{\xi^3}{6} \right); \quad \because \xi \sim o(1) \rightarrow \xi \sim \frac{1+\epsilon}{2} \\ \text{for } \epsilon \ll 1: \quad J_n(n\epsilon) &\sim \frac{1}{\pi} \int_0^\pi \cos(n\xi) d\xi = \frac{1}{n\pi} [\sin(n\xi)]_0^\pi = 0 \end{aligned}$$

8 Energy Spectrum (後半)

8.1 立体角積分

Eq.(31),(32) の立体角積分、

$$\frac{dW}{dt} = \int_{\Omega} \frac{d(W_x + W_y + W_z)}{d\Omega dt} = \frac{e^2}{c} \int_0^\pi \sum_{n=-\infty}^{\infty} \omega_n^2 \left[\beta^2 J_n^2(\lambda_n) + \frac{\cos^2 \theta}{\sin^2 \theta} J_n'^2(\lambda_n) \right] \sin \theta d\theta$$

を行う。この角括弧の中は (Bessel Function の引数 λ_n は省略する)、

$$\begin{aligned} \left[\beta^2 J_n^2 + \frac{\cos^2 \theta}{\sin^2 \theta} J_n'^2 \right] &= \beta^2 \left(\frac{J_{n-1} - J_{n+1}}{2} \right)^2 + \frac{1}{\sin^2 \theta} J_n^2 - J_n^2 = \beta^2 \left(\frac{J_{n-1} - J_{n+1}}{2} \right)^2 + \frac{n^2 \beta^2}{\lambda_n^2} J_n^2 - J_n^2; \quad \lambda_n = n\beta \sin \theta \\ &= \beta^2 \left[\left(\frac{J_{n-1} - J_{n+1}}{2} \right)^2 + \left(\frac{J_{n-1} + J_{n+1}}{2} \right)^2 \right] - J_n^2 = \frac{\beta^2}{2} (J_{n-1}^2 + J_{n+1}^2) - J_n^2 \\ &= \frac{1}{2} [\beta^2 (J_{n-1}^2 - 2J_n^2 + J_{n+1}^2)] - (1 - \beta^2) J_n^2 \end{aligned}$$

と書ける。これより立体角積分は、

$$\int_0^\pi \left[\beta^2 J_n^2(\lambda_n) + \frac{\cos^2 \theta}{\sin^2 \theta} J_n'^2(\lambda_n) \right] \sin \theta d\theta = \frac{\beta^2}{2} \left(\int_0^{\pi/2} + \int_{\pi/2}^\pi \right) (\sin \theta J_{n-1}^2 - 2 \sin \theta J_n^2 + \sin \theta J_{n+1}^2) d\theta - (1 - \beta^2) \left(\int_0^{\pi/2} + \int_{\pi/2}^\pi \right) \sin \theta J_n^2 d\theta$$

であるが、今

$$\begin{aligned} \int_{\pi/2}^\pi \sin \theta J_n^2(n\beta \sin \theta) d\theta &= \int_{\pi/2}^0 \sin \theta' J_n^2(n\beta \sin \theta') (-d\theta'); \quad \theta' = \pi - \theta, d\theta' = -d\theta, \quad \frac{\theta}{\theta'} \Big| \frac{\pi/2}{\pi/2} \rightarrow \frac{\pi}{0} \\ &= \int_0^{\pi/2} \sin \theta J_n^2(\lambda_n) d\theta \end{aligned}$$

であることから、

$$\begin{aligned}
& \int_0^\pi \left[\beta^2 J_n^2(\lambda_n) + \frac{\cos^2 \theta}{\sin^2 \theta} J_n'^2(\lambda_n) \right] \sin \theta d\theta = \beta^2 \int_0^{\pi/2} (\sin \theta J_{n-1}^2 - 2 \sin \theta J_n^2 + \sin \theta J_{n+1}^2) d\theta - 2(1-\beta^2) \int_0^{\pi/2} \sin \theta J_n^2 d\theta \\
&= \beta^2 \frac{1}{2n\beta} \int_0^{2n\beta} (J_{(2n-1)-1}(t) - 2J_{(2n-1)+1}(t) + J_{(2n+1)+1}(t)) dt - \frac{2(1-\beta^2)}{2n\beta} \int_0^{2n\beta} J_{2n}(t) dt \\
&\quad \therefore \int_0^{\pi/2} J_n^2(z \sin \theta) \sin \theta d\theta = \frac{1}{2\pi} \int_0^{2z} J_{2n}(t) dt \\
&= \frac{\beta}{n} \int_0^{2n\beta} (J'_{2n-1}(t) - J'_{2n+1}(t)) dt - \frac{1-\beta^2}{n\beta} 2n \int_0^\beta J_{2n}(2n\xi) d\xi; \quad t = 2m\xi, dt = 2nd\xi, \quad \frac{t}{\xi} \Big|_0^0 \rightarrow \frac{2n\beta}{\beta} \\
&= \frac{\beta}{n} [J_{2n-1}(t) - J_{2n+1}(t)]_0^{2n\beta} - 2 \frac{1-\beta^2}{\beta} \int_0^\beta J_{2n}(2n\xi) d\xi = \frac{2\beta}{n} J'_{2n}(2n\beta) - 2 \frac{1-\beta^2}{\beta} \int_0^\beta J_{2n}(2n\xi) d\xi
\end{aligned}$$

を得る。以上より立体角積分をした結果は以下のようになる：

$$\frac{dW}{dt} = \frac{2e^2 \omega_{se}}{c\beta} \sum_{n=-\infty}^{\infty} \left[n\beta^2 J'_{2n}(2n\beta) - n^2 (1-\beta^2) \int_0^\beta J_{2n}(2n\xi) d\xi \right]. \quad (55)$$

8.2 $n \gg 1$ の時の $J_{2n}(2n\xi)$ の振る舞い

$n \gg 1$ の時以下の式が成り立つ：

$$J_{2n}(2n\xi) \sim \frac{1}{n^{1/3} \sqrt{\pi}} \Phi(n^{2/3} [1 - \xi^2]). \quad (56)$$

証明 $n \gg 1, \xi \sim 1$

$$\begin{aligned}
J_{2n}(2n\xi) &= \frac{1}{\pi} \int_0^\infty \cos \left[2n \left(\frac{1-\xi^2}{2} \zeta + \frac{\zeta^3}{6} \right) \right] d\zeta = \frac{1}{\pi} \int_0^\infty \cos \left[\frac{n\zeta^3}{3} + n(1-\xi^2)\zeta \right] d\zeta; \quad n\zeta^3 = \eta^3, d\zeta = n^{-1/3} d\eta \\
&= \frac{n^{-1/3}}{\pi} \int_0^\infty \cos \left[\frac{\eta^3}{3} + n^{2/3} (1-\xi^2) \eta \right] d\eta = \frac{1}{n^{1/3} \sqrt{\pi}} \Phi(n^{2/3} [1 - \xi^2])
\end{aligned}$$

Eq.(56) の両辺を $2n\xi$ で微分すると以下を得る：

$$\frac{d}{d(2n\xi)} J_{2n}(2n\xi) = J'_{2n}(2n\xi) = \frac{1}{n^{1/3} \sqrt{\pi}} \Phi'(n^{2/3} [1 - \xi^2]) \frac{d(n^{2/3} [1 - \xi^2])}{d(2n\xi)} = -\frac{1}{n^{2/3} \sqrt{\pi}} \xi \Phi'(n^{2/3} [1 - \xi^2]). \quad (57)$$

8.3 $\gamma \gg 1$ のときの Energy Spectrum

$\gamma \gg 1$ の時、Eq.(55) は $n \gg 1$ が主に寄与する。 $[\omega, \omega + d\omega]$ の間には、 $d\omega/\omega_{se}$ 個のモードが存在する。従って Eq.(55) を ω_{se} で割ることで、連続的に分布した周波数あたりの強度に変換することが出来る。今 $u = n^{2/3} (1 - \xi^2), u_0 = n^{2/3} (1 - \beta^2) \rightarrow du = -2n^{2/3} \xi d\xi$ とおくと、

$$\begin{aligned}
\frac{dW}{d\omega dt} &= \frac{2e^2 \omega_{se}}{c} \sum_{n=-\infty}^{\infty} \left[n \left(-\frac{1}{n^{2/3} \sqrt{\pi}} \Phi'(u_0) \right) - n^2 (1-\beta^2) \int_0^\beta \frac{1}{n^{2/3} \sqrt{\pi}} \Phi(n^{2/3} [1 - \xi^2]) d\xi \right] \\
&= \frac{2e^2 \omega_{se}}{c \sqrt{\pi}} \left[-n^{1/3} \Phi'(u_0) - n^{5/3} (1-\beta^2) \int_{u_0}^\infty \Phi(u) \frac{du}{2n^{2/3} \xi} \right] \\
&= \frac{2e^3}{\sqrt{\pi}} \frac{B}{mc^2} \left(\sqrt{u_0} \left[-\Phi'(u_0) - \frac{u_0}{2} \int_{u_0}^\infty \Phi(u) du \right] \right); \quad \text{here } \xi \sim \beta \sim 1, \text{ but } 1-\beta^2 \neq 0, n = \left(\frac{u_0}{1-\beta^2} \right)^{3/2} \quad (58)
\end{aligned}$$

を得る。更に、

$$\Phi'(z) = -\frac{z}{\sqrt{3\pi}} K_{2/3} \left(\frac{2}{3} z^{3/2} \right), \quad \Phi(z) = \sqrt{\frac{z}{3\pi}} K_{1/3} \left(\frac{2}{3} z^{3/2} \right)$$

であるから、

$$\begin{aligned}
-\sqrt{u_0}\Phi'(u_0) - \frac{u_0^{3/2}}{2} \int_{u_0}^{\infty} \Phi(u)du &= \frac{u_0^{3/2}}{\sqrt{3\pi}} K_{2/3} \left(\frac{2}{3} u_0^{3/2} \right) - \frac{u_0^{3/2}}{2} \int_{u_0}^{\infty} \sqrt{\frac{u}{3\pi}} K_{1/3} \left(\frac{2}{3} u^{3/2} \right) du \\
&= \frac{3}{2} \frac{\chi_0}{\sqrt{3\pi}} K_{2/3}(\chi_0) - \frac{3}{4\sqrt{3}} \chi_0 \int_{\chi_0}^{\infty} K_{1/3}(\chi) d\chi; \quad \text{here } \chi = \frac{2}{3} u^{3/2}, \chi_0 = \frac{2}{3} u_0^{3/2} \rightarrow d\chi = u^{1/2} du \\
&= \frac{3}{2} \frac{\chi_0}{\sqrt{3\pi}} K_{2/3}(\chi_0) - \frac{3}{4\sqrt{3}} \chi_0 \int_{\chi_0}^{\infty} K_{1/3}(\chi) d\chi = \frac{3\chi_0}{2\sqrt{3\pi}} \left[K_{2/3}(\chi_0) - \frac{1}{2} \int_{\chi_0}^{\infty} K_{1/3}(\chi) d\chi \right] \\
&= \frac{3\chi_0}{2\sqrt{3\pi}} \left[- \int_{\chi_0}^{\infty} K'_{2/3}(\chi) d\chi - \int_{\chi_0}^{\infty} K_{1/3}(\chi) d\chi \right] = \frac{3\chi_0}{2\sqrt{3\pi}} \left[\int_{\chi_0}^{\infty} \frac{1}{2} \{K_{-1}(\chi) + K_{5/3}(\chi) - K_{1/3}(\chi)\} d\chi \right] \\
&= \frac{3\chi_0}{4\sqrt{3\pi}} \int_{\chi_0}^{\infty} K_{5/3}(\chi) d\chi
\end{aligned}$$

を得る。よって、

$$\frac{dW}{d\omega dt} = \frac{\sqrt{3}}{2\pi} \frac{e^3 B}{mc^2} F(\chi_0) \quad (59)$$

$$\text{here } F(\chi_0) = \chi_0 \int_{\chi_0}^{\infty} K_{5/3}(\chi) d\chi, \quad \chi_0 \equiv \frac{\omega}{\omega_c}, \quad \omega_c = \frac{3}{2} \gamma^3 \omega_{se} = \frac{3}{2} \gamma^2 \omega_{ce} \quad (60)$$

を得る。

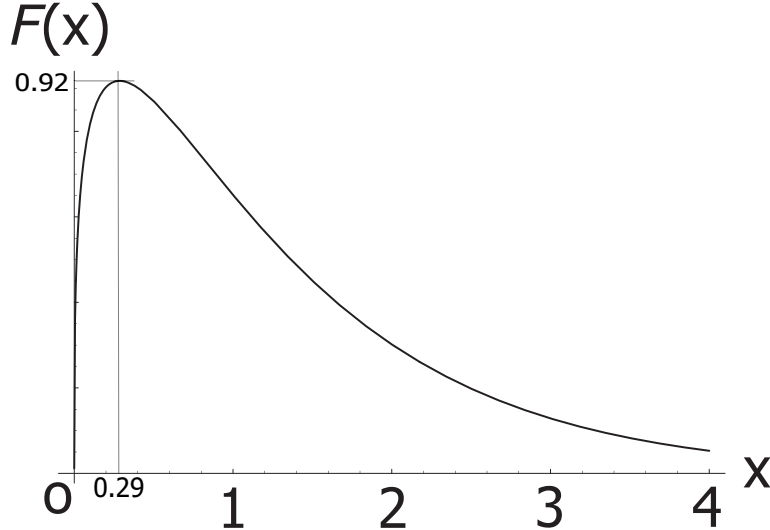


図 2 $F(\chi)$ の概形。 $\chi = 0.29$ で最大値 0.92 をとる。

8.4 電子のエネルギー分布が与えられた場合

電子のエネルギー分布が power law:

$$N(\gamma)d\gamma = C\gamma^{-p}d\gamma \quad (61)$$

で与えられるとき、輐射の周波数分布を計算する。Eq.(60) より、

$$\chi_0 = \frac{2\omega m_e c}{3eB} \gamma^{-2} \rightarrow \gamma = \left(\frac{2\omega m_e c}{3eB} \right)^{1/2} \chi_0^{-1/2}, \quad d\chi_0 = -\frac{3eB}{4\omega m_e c} \gamma^3 d\gamma; \quad \frac{\gamma}{\chi_0} \Big|_{\infty}^0 \rightarrow \frac{0}{\infty} \rightarrow \frac{\infty}{0}$$

であるから、

$$\begin{aligned}
P(\omega) &= \int_0^\infty \frac{dW}{d\omega dt} N(\gamma) d\gamma = \int_0^\infty \frac{\sqrt{3}}{2\pi} \frac{e^3 B}{m_e c^2} F(\chi_0) C \gamma^{-p} \frac{3eB}{4\omega m_e c} \gamma^3 d\chi_0 \\
&= \frac{\sqrt{3} e^3 B}{2\pi mc^2} \frac{3eB}{4\omega m_e c} C \left(\frac{2\omega m_e c}{3eB} \right)^{(3-p)/2} \int_0^\infty \chi_0^{(p-3)/2} F(\chi_0) d\chi_0 \\
&= \frac{\sqrt{3} e^3 C B}{2\pi m_e c^2} \frac{3eB}{4\omega m_e c} \left(\frac{m_e c \omega}{3eB} \right)^{-(p-1)/2} \frac{m_e c \omega}{3eB} 2^{(3-p)/2} \cdot 2 \cdot 2^{(p-3)/2} \frac{2}{p+1} \Gamma\left(\frac{p}{4} + \frac{19}{12}\right) \Gamma\left(\frac{p}{4} - \frac{1}{12}\right) \\
&= \frac{\sqrt{3} e^3 C B}{2\pi m_e c^2 (p+1)} \Gamma\left(\frac{p}{4} + \frac{19}{12}\right) \Gamma\left(\frac{p}{4} - \frac{1}{12}\right) \left(\frac{m_e c \omega}{3eB} \right)^{-(p-1)/2}
\end{aligned} \tag{62}$$

を得る。ここで Γ は Gamma function で、以下の関係式を用いた：

$$\int_0^\infty x^\mu F(x) dx = \frac{2^{\mu+1}}{\mu+2} \Gamma\left(\frac{\mu}{2} + \frac{7}{3}\right) \Gamma\left(\frac{\mu}{2} + \frac{2}{3}\right). \tag{63}$$